

УДК 544.354-128:539.266

РЕНГЕНОДИФРАКЦИОННОЕ ИССЛЕДОВАНИЕ ВОДНЫХ РАСТВОРОВ ТРИХЛОРИДА ЛЮТЕЦИЯ

О.В. Гречин¹, П.Р. Смирнов², В.Н. Тростин²

¹НИИ термодинамики и кинетики химических процессов при Ивановском государственном химико-технологическом университете

²Институт химии растворов им. Г.А. Крестова РАН, Иваново

E-mail: prs@isuct.ru

Статья поступила 27 февраля 2012 г.

С доработки — 24 мая 2012 г.

Методом рентгеноструктурного анализа исследованы водные растворы хлорида лютеция в широкой области концентраций при стандартных условиях. Проведена интерпретация малоугловых пиков на функциях интенсивности рассеяния рентгеновского излучения и максимумов функций радиального распределения атомно-электронной плотности. Установлено, что высококонцентрированные растворы характеризуются уникальной квазикристаллической структурой, отличающейся высокой близней и дальней упорядоченностью. Разбавление растворов ведет к тому, что определяющую роль в структуре систем начинает играть собственная структура растворителя. Впервые установлено, что малоугловые пики на функциях интенсивности рассеяния проявляются и для разбавленных растворов, что является свидетельством сохранения в них дальней упорядоченности.

Ключевые слова: водные растворы лантанидов, структура, рентгенодифракционный анализ, малоугловые максимумы интенсивности рассеяния, функции радиального распределения.

ВВЕДЕНИЕ

Интерес фундаментальной науки к структурным исследованиям жидкофазных систем, включающих лантанидные ионы, определяется множеством аспектов. Из них чаще всего отмечается эффект лантанидного сжатия, реализующийся в предположительно плавном изменении координационного числа катионов в лантанидном ряду и заявлением *s*-образном характере изменения термодинамических и транспортных свойств растворов [1]. К тому же особенность электронных свойств элементов этого ряда вследствие наличия 4f-подуровня определяет интерес к их высокой комплексообразующей способности в разнообразных жидких средах, с одной стороны, и к проведению модельных аналогий при изучении структуры растворов ионов актинидов (5f-аналогов лантанидов), для которых затруднены прямые экспериментальные исследования, с другой стороны.

Отмечено, что в последние 20 лет внимание исследователей в области структуры водных растворов лантанидов акцентируется на проведении компьютерного модельного эксперимента с привлечением ранее определенных структурных параметров. В то же время известная структурная информация, полученная прямыми структурными методами, базируясь на анализе функций радиального распределения, в большинстве своем описывает ближнюю координацию молекул воды и анионов вокруг катионов. При этом практически не обсуждаются первичные

экспериментальные данные. На данный момент имеется дефицит сведений, касающихся перерганизации, происходящей в растворах лантанидных ионов при изменении концентрации.

Изучению структуры водных растворов солей лютения посвящено сравнительно немного публикаций. Исследования, проведенные методами PCA, EXAFS, XANES [1—6], преимущественно определяют параметры ближнего окружения катиона. Результаты сходятся в оценке значения КЧ (Lu^{3+}), колеблющегося около восьми, тогда как расстояния взаимодействий в первой гидратной оболочке иона лютения определяются сравнительно широким диапазоном 0,231—0,256 нм.

С точки зрения рентгенодифракционного эксперимента лютений обладает наибольшей рассеивающей способностью по сравнению с остальными представителями лантанидного ряда, что кажется немаловажным при исследовании его разбавленных растворов. Целью представляемой работы являлось прояснить общие тенденции структурного переустройства водных растворов хлорида лютения, наблюдаемого при разбавлении.

ЭКСПЕРИМЕНТАЛЬНАЯ ЧАСТЬ

Насыщенный при 25 °C раствор трихлорида лютения ($\text{LuCl}_3 \cdot 13,43\text{H}_2\text{O}$) готовили растворением шестиводного кристаллогидрата квалификации ХЧ в 0,1 М растворе хлористо-водородной кислоты для подавления гидролиза. Более разбавленные растворы мольных соотношений соль:вода, равных 1:20, 1:40, 1:80, 1:160, 1:240, 1:320, 1:400, готовили путем последовательного разбавления. Состав всех указанных растворов контролировали в соответствии с известными зависимостями их плотности от концентрации [7].

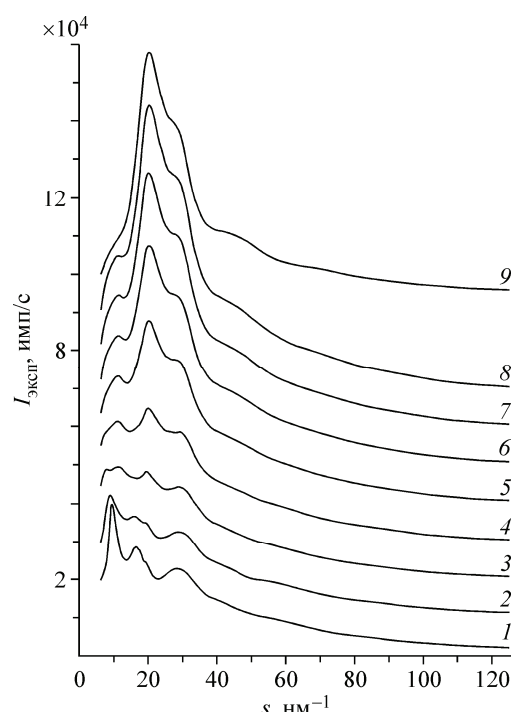
Рентгенодифракционный эксперимент был проведен на дифрактометре Bruker D8 Advance с использованием MoK_α -излучения ($\lambda = 0,07107$ нм), монохроматизированного циркониевым β -фильтром, в диапазоне углов 4—130° (2θ) с шагом 0,103° по рентгенооптической схеме Брега—Брентано. Для съемки жидких объектов использовали специально сконструированную кювету и регулируемый свинцовый экран, установленный над свободной поверхностью жидкости, что позволило удерживать проекцию падающего излучения при малых углах в границах кюветы и отсечь сопутствующее паразитное рассеяние. Интенсивность рассеяния от образцов регистрировали позиционно-чувствительным детектором VANTEC-1 (Bruker). Первичные экспериментальные данные сглаживали в программе Origin 7.5 посредством FFT-фильтрации [8], исправляли на фон и поглощение в образце. При расчете функций радиального распределения атомно-электронной плотности (ФРР) использовали математический аппарат, реализованный в алгоритме программного пакета KURVLR [9].

РЕЗУЛЬТАТЫ И ИХ ОБСУЖДЕНИЕ

Анализ первичных данных. Рис. 1 представляет экспериментальные зависимости интенсивности рассеяния рентгеновского излучения в растворах лютения от значения волнового вектора $s = 4\pi\sin\theta/\lambda$ (кривые интенсивности — КИ).

Рис. 1. Экспериментальные зависимости интенсивности рассеяния рентгеновского излучения в растворах лютения мольных соотношений 1:13,43 (1), 1:20 (2), 1:40 (3), 1:80 (4), 1:160 (5), 1:240 (6), 1:320 (7), 1:400 (8) и чистой воды (9) от значения волнового вектора s .

С целью лучшего представления мелких деталей КИ представлены в интервале 6—125 nm^{-1} со смещением каждой кривой по вертикали на величину $9 \cdot 10^3$ имп/с



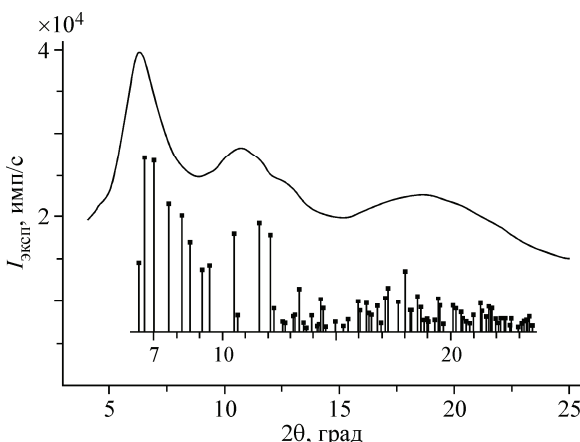


Рис. 2. Часть расчетного спектра кристаллогидрата $\text{LnCl}_3 \cdot 6\text{H}_2\text{O}$ и кривая интенсивности рассеяния рентгеновского излучения насыщенным водным раствором хлорида лютесия

Характерной деталью на каждой из представленных КИ является наличие предпика — максимума интенсивности в области малых углов рассеяния ($s = 7,76—11,56\text{ нм}^{-1}$). Феномен проявления малоугловых максимумов на КИ отмечали и ранее [10] и не только для растворов лантанидных солей. Применительно к наличию предпиков в лантанидных растворах существует установившееся мнение о причине, их

вызывающей: проявление межкатионных расстояний [11, 12] или "позиционные связи между гидратированными катионами" [13], имеющие место в растворах. Безусловно полезной из положения предпиков является предложенная оценка расстояний по формуле $R = 7,73/s$ [11]. Анализ изменения формы и положения предпиков в зависимости от концентрации позволяет предположить, что причина их проявления не столь однозначна и должна рассматриваться в различных аспектах.

Прежде всего, для насыщенного раствора предпик имеет острую форму и доминирует по интенсивности. При сопоставлении КИ насыщенного раствора с расчетной дифрактограммой соответствующего кристаллогидрата (рис. 2) наблюдается относительное соответствие положения линий дифрактограммы форме КИ и, в частности, отмечается, что в области расположения малоуглового максимума находятся две наиболее интенсивные линии дифрактограммы, имеющие индексы -101 и 010 . Следует отметить, что кристаллогидрат хлористого лютесия описывается в виде $[\text{LnCl}_2(\text{H}_2\text{O})_6]\text{Cl}$ с решеткой, относимой к моноклинной сингонии [14].

Из этих наблюдений складывается мнение о том, что к растворам, близким к насыщению, применимо представление о квазикристаллической упорядоченности в структуре. В таком представлении лантанидные катионы, являясь наиболее сильными рассеивателями рентгеновского излучения, рассматриваются в качестве центров создаваемых ими координационных комплексов. В состав этих комплексов, помимо молекул воды, вовлечены и противоионы. В условиях дефицита растворителя гидратные оболочки как катионов, так и анионов в некоторой степени обобщены между собой. В то же время наличие прямых ионных контактов рассматривается маловероятным. Отражением межионного взаимодействия, разделенного гидратными прослойками, по всей видимости, служит второй пик на КИ насыщенного раствора при $16,31\text{ нм}^{-1}$. Определяющими вкладами в малоугловую картину рентгеновского рассеяния в таких системах являются позиционно устойчивые межкатионные взаимодействия. Взаимодействия с участием хлоридных анионов имеют малый вклад в этой картине по причине их значительно меньшей рассеивающей способности и проявления ими тенденции к "отрицательной гидратации". Для насыщенного раствора дистанция между катионами, исходя из вышеприведенной формулы, оценивается в $0,814\text{ нм}$. Подтверждением этой оценки отчасти служит наличие группы пиков в области $0,8\text{ нм}$ на ФРР данного раствора (рис. 3).

При небольших добавках воды в растворах происходит закономерное увеличение межионных расстояний и межкатионных расстояний в частности. Это и является причиной смещения положения предпиков в сторону меньших значений s на КИ (до $8,87\text{ нм}^{-1}$ — для раствора мольного соотношения $1:20$ и до $7,92\text{ нм}^{-1}$ — для раствора с соотношением $1:40$) с одновременным уменьшением их высоты. Следует сказать, что факт смещения предпиков отмечали неоднократно при разбавлении растворов [11, 13, 15, 16].

На наш взгляд, КИ для раствора с соотношением $1:40$ является отражением перехода от структуры с дефицитом растворителя к структуре разбавленных растворов. При отмеченном

Рис. 3. Функции радиального распределения водных растворов хлорида лютесия мольных соотношений 1:13,43 (1), 1:20 (2), 1:40 (3), 1:80 (4), 1:160 (5), 1:240 (6), 1:320 (7), 1:400 (8)

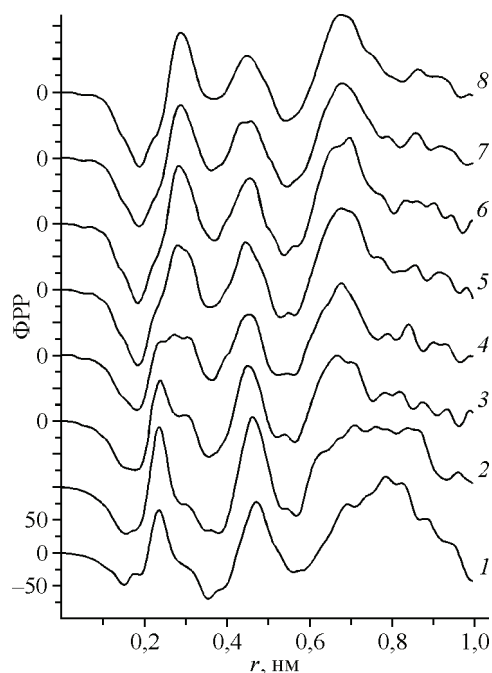
смещении первого максимума до $7,92 \text{ нм}^{-1}$ наблюдается проявление нового максимума при $11,25 \text{ нм}^{-1}$, который, в свою очередь, отсутствует в данном угловом интервале на КИ для высококонцентрированных растворов, но обособляется на других КИ по мере дальнейшего разбавления. Предполагается, что проявляющийся малоугловой максимум продолжает отражать межкационные расстояния, а смежно примыкающий к нему пик определяется совокупностью как межионных взаимодействий, так и межмолекулярных взаимодействий в проявляющейся сетке растворителя. О росте вклада в общую структуру от взаимодействий между молекулами растворителя свидетельствует к тому же приращение интенсивности в пиках, находящих проявление в области $\sim 19,47—20,26 \text{ нм}^{-1}$.

Для растворов с большим разбавлением (с соотношениями 1:80 и выше) на КИ продолжают наблюдаться предпки. По сравнению с концентрированными растворами предпки для разбавленных растворов менее выражены по высоте, определяются широким основанием и смещены в сторону больших угловых значений ($s = 10,93—11,41 \text{ нм}^{-1}$). Принимая во внимание, что все ионы при данных мольных соотношениях приобретают собственные гидратные окружения, можно утверждать, что в отмечаемые малоугловые максимумы вкладываются расстояния между центрами обособленных гидратных комплексов ионов (как катионов, так и анионов), или, иными словами, усредненные межионные расстояния. Наряду с этим сравнение малоугловых участков КИ разбавленных растворов и КИ воды говорит о том, что в предпиках имеется и собственная структурная компонента растворителя. Очевидно, что именно она и является причиной смещения предпиков.

Следует отдельно отметить общую динамику изменения формы КИ, происходящую при разбавлении растворов. Прежде всего, это касается основного пика и его правого плеча, характерно проявляющихся в КИ всех разбавленных водно-электролитных растворов в области $20—29 \text{ нм}^{-1}$ и в растворах лантанидов в частности. Зарождение основного предполагаемого "водного" пика детектируется на КИ растворов соотношений 1:13,43 и 1:20 в виде слабого перегиба справа от второго максимума (см. рис. 1). По мере последовательного разбавления систем этот пик, наряду с примыкающим к нему плечом, растет в интенсивности. Это, в свою очередь, отражает усиливающийся вклад от структурной сетки растворителя на расстояниях $\sim 0,47$ и $\sim 0,7 \text{ нм}$. Данный факт показывает, что тетраэдрически упорядоченные фрагменты растворителя не исключаются и в высококонцентрированных системах.

Интерпретация функций радиального распределения (корреляционных функций). Рис. 3 демонстрирует корреляционные функции исследованных растворов, выраженные в виде $RDF = 4\pi r^2 p - 4\pi r^2 p_0$. Прежде всего, следует отметить, что пики на всех приведенных ФРР являются многосоставными в том смысле, что формирование каждой наблюданной группы пиков определяется вкладами от разных межчастичных взаимодействий.

Максимум при $0,236 \text{ нм}$ на корреляционной функции насыщенного раствора отражает расстояния взаимодействий иона Lu^{3+} в его первой координационной (а конкретнее в гидратной) оболочке. Правое плечо у отмеченного выше пика, позиционированное при $0,310 \text{ нм}$, в своем составе имеет вклады от расстояний ближайших парных взаимодействий типа $\text{H}_2\text{O}-\text{H}_2\text{O}$ ($\sim 0,290 \text{ нм}$) и $\text{Cl}-\text{H}_2\text{O}$ ($\sim 0,315 \text{ нм}$). Пик при $0,472 \text{ нм}$ в основном определяется вкладами от неконтактных ионных пар типа катион—анион. Имеющая место обширная корреляция на ФРР



в интервале расстояний от 0,65 до 0,90 нм отражает межчастичные взаимодействия более дальнего порядка, которые фиксируются в первых двух максимумах КИ насыщенного раствора.

ФПР раствора мольного соотношения 1:20 в ближней области расстояний незначительно отличается от функции насыщенного раствора и в основном демонстрирует изменения вкладов от дальних расстояний.

Форма корреляционной функции раствора соотношения 1:40 значительно изменяется. При легком смещении первого пика (до 0,238 нм) наиболее четко прописывается второй пик при 0,308 нм, определяемый возрастающими вкладами от взаимодействий вода—вода и Cl^- —вода. О формирующейся собственной структуре растворителя на ФПР свидетельствуют две детали. Во-первых, наблюдаемое смещение третьего пика до 0,448 нм указывает на проявление фрагментарной тетраэдрической упорядоченности молекул воды. Во-вторых, в области 0,65—0,70 нм отмечается широкий пик, имеющий характерное соответствие в ФПР чистой воды. Можно предположить, что в растворе данной концентрации катионы формируют вторую координационную сферу, возможно, неполную. Она, вероятно, образуется на среднем расстоянии 0,445 нм от катионов и в этом случае вносит свой вклад во второй пик.

Особенностью, заслуживающей внимания в корреляционной функции раствора 1:80, являются три различаемых пика при 0,238, 0,276 и 0,310 нм, природа которых понятна из выше-приведенного изложения. Смещение характеристического пика воды в сторону меньших расстояний объясняется кислотой средой раствора, при которой расстояния между ионами гидроксия и молекулами воды короче, чем между молекулами растворителя в чистой воде.

Дальнейшее разбавление раствора закономерно приводит к преобладанию структуроопределенного вклада растворителя, выражющегося в том, что корреляционные функции становятся все более схожими с ФПР чистой воды. При этом вклад от взаимодействий в первой гидратной оболочке катиона становится едва различим. Расстояния от межионных взаимодействий, оцениваемые по упоминавшейся формуле пределами 0,677—0,707 нм, входят в третий сложный пик на корреляционных функциях. Значительная высота уширенных максимумов, наблюдавшихся в данной области на ФПР, может свидетельствовать о наложении межионных расстояний на проявляемые характеристические межмолекулярные расстояния. В то же время слабо выраженные пики на ФПР разбавленных растворов в области далее 0,75 нм не могут быть сколько-нибудь однозначно интерпретируемы. По этой причине ФПР сильно разбавленных растворов, по нашему мнению, не являются достаточно информативными в плане выяснения структурных особенностей ионной гидратации.

ВЫВОДЫ

Анализ первичных экспериментальных данных совместно с функциями радиального распределения, как показано выше, позволяет получить определенную дополнительную информацию. Структура водных растворов хлорида лютеция, непрерывно изменяясь в процессе разбавления, сильно отличается для насыщенных (высококонцентрированных) и разбавленных растворов, о чем свидетельствуют различающиеся по форме КИ и ФПР для разных концентраций. Для высококонцентрированных растворов применимо представление о квазикристаллической структурной упорядоченности, определяемой псевдoperiodичностью катионного распределения. В то же время для разбавленных растворов следует рассматривать распределение всей совокупности ионов, входящих в состав растворенной соли, равномерное по объему раствора. При этом пространственное разделение ионов во многом определяется структурной сеткой воды.

Выясняется, что ближняя упорядоченность применительно к катионному окружению может быть выявлена только для высококонцентрированных растворов. В то же время наличие предпиков (малоугловых максимумов) на КИ во всем изучаемом концентрационном диапазоне указывает на дальнюю упорядоченность в растворах. При этом возможна оценка в случае высококонцентрированных растворов усредненных межкатионных расстояний 0,814—0,871 нм, а в случае разбавленных растворов — межионных расстояний 0,677—0,707 нм.

СПИСОК ЛИТЕРАТУРЫ

1. Habenschuss H., Spedding F.H. // J. Chem. Phys. – 1979. – **70**, N 6. – P. 2797.
2. Танаева Н.Н., Новикова Л.Б., Костромина Н.А. // Координац. химия. – 1980. – **6**, № 3. – С. 372.
3. Yamaguchi T., Nomura M., Wakita H. et al. // J. Chem. Phys. – 1988. – **89**, N 8. – P. 5153.
4. Ishiguro S.I., Umebayashi Y., Kato K. et al. // J. Chem. Soc. Faraday Trans. – 1998. – **94**, N 24. – P. 3607.
5. Persson I., D'Angelo P., De Panfilis S. et al. // Chem. Europ. J. – 2008. – **14**, N 10. – P. 3056.
6. D'Angelo P., Zitolo A., Migliorati V. et al. // Chem. Europ. J. – 2010. – **16**, N 2. – P. 684.
7. Spedding F.H., Saeger V.W., Gray K.A. et al. // J. Chem. Eng. Data. – 1975. – **20**, N 1. – P. 72.
8. OriginPro 7.5, Version 7.5714. – Copyright 1991—2003. OriginLab Corporation, USA.
9. Johansson G., Sandstrom M. // Chem. Scripta. – 1973. – **4**, N 5. – P. 195.
10. Гречин О.В., Смирнов П.Р., Тростин В.Н. // Изв. вузов. Химия и хим. технол. – 2011. – **54**. Вып. 6. – С. 42.
11. Дорош А.К., Скрышевский А.Ф. // Журн. структур. химии. – 1967. – **8**, № 2. – С. 348.
12. Дорош А.К. Структура конденсированных систем. – Львов: Вища школа, 1981.
13. Marques M.A., Cabaço M.I., de Barros Marques M.I. et al. // J. Phys.: Condens. Matt. – 2001. – **13**, N 20. – P. 4367.
14. Pattern 01-084-2194. PDF-2 Database. Release 2008. International Center for Diffraction Data, USA., Pattern № 300013. Inorganic Crystal Structure Database, Fachinformationszentrum Karlsruhe, Karlsruhe, Germany.
15. Caminiti R., Magini M. // Chem. Phys. Lett. – 1978. – **54**, N 3. – P. 600.
16. Palinkas G., Kalman E. // Z. Naturforsch. – 1981. – **A36**, N 12. – S. 1367.